VOLUME 2 APRIL 2023 ISSN: 2181-385X



ЭНЕРГЕТИЧЕСКИЕ ПРОЦЕССЫ ПРИ ИНТЕГРАЛЬНОЙ СУШКЕ С ПОМОЩЬЮ ФИЗИЧЕСКИХ СТИМУЛЯЦИЙ УДАЛЕНИЕМ ВЛАГИ

Норкулова Карима Тўхтабоевна

Профессор

Жумаев Ботир Мелибаевич

Тошкент кимё технология институти, доцент

Чориева Сарвара Абдусаломовна

ТДТУ, Термиз филиали, ассистент

Аловидинова Нилуфар Мелибоевна

Тошкент кимё технология институти, магистранти

Жумаев Баходир Мелибой ўғли

Ajou University in Tashkent талабаси

Аннотация. В работе приведены результаты исследования интегральная схема с целью считывания влияния дифференциальных блоков на процесс сушки. Эксперименты проведены выборочно на новой интегральной схеме за счет нагрева воздушного потока, имеющего пульсационные колебания.

Ключевые слова: процесс, Аккумуляционный элемент, рациональная комплектация блоков, колебаний температур, теплоёмкость материала, удельный коэффициент испарения воды

ENERGY PROCESSES DURING INTEGRATED DRYING USING

PHYSICAL STIMULATIONS BY MOISTURE REMOVAL

Abstract. The work presents the results of the research of an integrated circuit in order to read the influence of differential blocks on the drying process. The experiments were carried out selectively on a new integrated circuit due to heating of an air flow with pulsating oscillations.

Key words: process, storage element, rational assembly of blocks, temperature fluctuations, heat capacity of material, specific coefficient of water evaporation

ВВЕДЕНИЕ

Известно, что интегральная сушка состоит из взаимодействия его отдельных блоков – блок 1-гелионагрев, и блок 2-теплонагрев, блок 3-электростимуляция с целью интенсификации удаления связанной влаги, блок 4-регенератор тепла.

Кроме того, аккумулятор тепловой энергии между блоками усиливает эффект интегральной сушки [1,2].





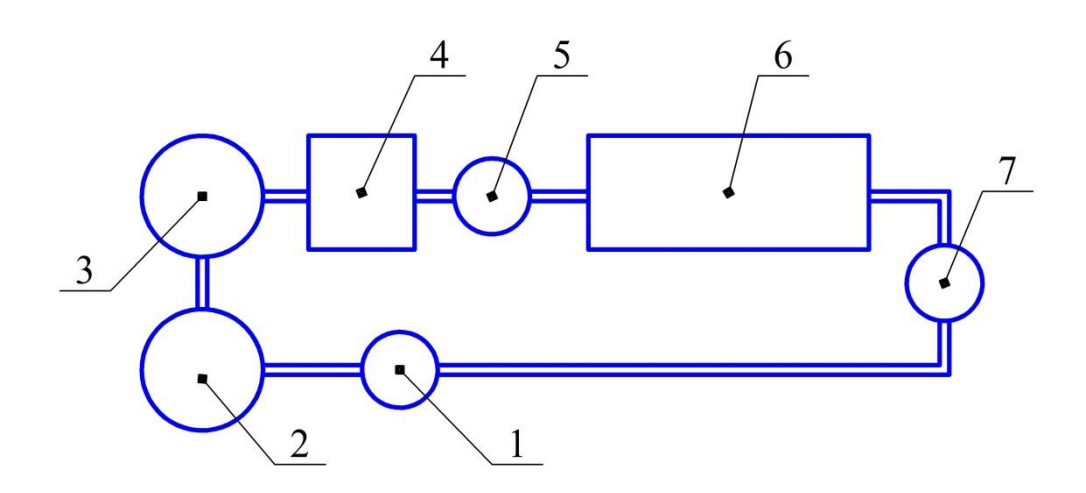


Рис.1. Общая схема интегральной сушки с учетом всех в входящих элементов сушки 1-вентилятор, 2-гелионагреватель, 3-топливный нагреватель, 4-использователь теплааккумулятор, 5-пульсатор, 6-камера сушки, 7- регенератор энергии.

Эксперименты показали, что интегральная эффективность удаления влаги для сушильного оборудования (рис.1), где пульсатор имеет амплитуду 2 см, частоту v=12 Γ ц. [3,4].

Работающие	Время работы	Средняя	Удалённая	Масса топлива
блоки		мощность за 8	влага	
		часов		
1,2	8 ч	2 кВт	7,7	0
1,3	8 ч	2 кВт	7,7	-
а) уголь	8 ч	2 кВт	7,7	0,2
б) мазут	8 ч	2 кВт	7,7	0,3
в) дрова	8 ч	2 кВт	7,7	3,3
12*3*5	3,9 ч	2 кВт	7,7	уголь-0,1
				мазут-0,3
12*3*7	3,8 ч	2 кВт	7,7	уголь-0,1
				мазут-0,3
12*3*5*7	3,2 ч	2 кВт	7,7	уголь-0,1
				мазут-0,3

Данный рисунок в виде таблицы показывает изменение необходимой энергии и времени сушки для удаления влаги в количестве 7,7 кг. Данная масса нами выбрана так, что при солнечном нагреве 3 КВТ/м² наша лабораторная установка удаляет влагу 7,7 кг, если будет работать только гелиосушилка [4]. Аккумуляция энергии (рис.1), в таблице (2) отсутствует, то



JOURNAL OF FOOD SCIENCE





VOLUME 2 APRIL 2023 ISSN: 2181-385X

это связано с тем, что она эффективна для всей продолжительности сутки. Днём, накапливая энергию, помогает и сушке за счет запасной энергии фазового перехода.

Интегральная схема, как ожидали с помощью теоретических предпосылок, что намного эффективнее чем схемы с одно блоковыми системами.

Если учитывать, что перегрев происходит также и при горении топлива, то очевидно преимущества аккумулятора теплоты при таких ситуациях.

Сбереженное тепло, усиливает энергосбережение, особенно это выгодно выделяется при больших амплитудах суточных колебаний температуры атмосферы воздуха.

Поток поступает в камеру в количестве М₀+m, после камеры в конденсаторе часть смеси воздуха и пара конденсируется с количеством конденсата m^k и газовый поток теперь будет M_0+m m^k для баланса тепловой энергии имеет:

$$c(M_0+m)(t^M-t^{aT})-c(M_0+m-m^k)(t^H-T)-\lambda m^k=0$$
(1)

где, с-теплоемкость воздуха

 t^{H} - температура нагретого воздуха

t^{ат} -температура атмосферного воздуха

Т – температура воздуха у выхода камеры

λ – удельный коэффициент испарения воды

пусть регенерационная конструкция позволяет повторно использовать энергию в виде:

$$m = k \frac{M_0 - m^k}{1 - k} \tag{2}$$

Где, k – коэффициент регенерации

С помощью формул (1) и (2) имеем:

$$(T - t^{\text{atm}}) \left(1 + \frac{M_0 - m^k}{1 - k}\right) - (T^{\text{H}} - T) \frac{m^k}{M_0} = \lambda \frac{m^k}{cM_0}$$
 (3)

Эта формула позволяет установить взаимосвязь между температурой у выхода камеры и с массой конденсата при заданных условиях.

Энергия, получаемая аккумуляцией при перегреве благодаря аккумуляции, становится полезной энергией для ночного времени, когда солнечное облучение отсутствует. Кроме того, уголь, дрова, а иногда другие виды топлива могут создать перегрев, так как из-за инерционности системы трудно создать ровный нагрев. Собираемая энергия, в интегральной схеме, находиться всегда после нагревателя в последовательности интегральной цепочки (рис 2).

VOLUME 2 APRIL 2023 ISSN: 2181-385X



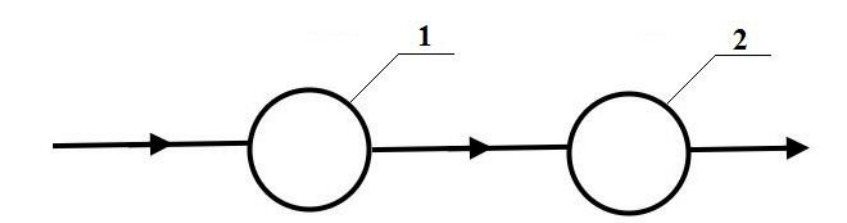


Рис. 2. Схема интегральной целендрицески нагревания:

1- нагреватель, 2- аккумулятор

Аккумуляционный элемент, скажем — парафин с углеводородной смесью имеет массу 320 кг. И перегрев происходит до 90^{0} С. В этом случае аккумуляционная энергия состоит из двух частей.

Первая часть- теплоёмкость материала

$$Q_1=cm(t^h-t_0)$$

В частности,
$$t^h$$
- 90^0 C, t_0 - 90^0 C, m =320 кг, c = c = 2,4 $\frac{\kappa \kappa}{\kappa r * r p a \pi}$

Вторая часть – это энергия плавления:

$$Q_2 = \lambda m$$

 $z\partial e~\lambda=150rac{\kappa\kappa}{\kappa r*rpa\pi}$ удельный коэффициент плавления

Если,
$$t^h$$
- t_0 = 70°C,

$$Q_1 = 5376$$
 кж

 $Q_2 = 48000$ кж

$$Q_1 + Q_2 = 53400$$
 кж

В результате испарится 22 кг воды. Если, 1 кВт*час энергии имеет стоимость 400 сум. Сэкономленная энергия будет -21600 сум.

выводы и предложения

Если, себестоимость аккумуляционного материала 640 тыс сум, то можно понят, что через месяц затраты себя оправдывают, и далее с годами он будет служить только на прибыль. В заключение отметим, рациональная комплектация блоков, приводит к увеличению энергоэффективности и увеличению сохранения биоактивных веществ в связи с сравнительным понижением времени сушки.

Указанное выше, особенно необходимо при учете суточных колебаний температур, мощности солнечного облучения, и неравномерность теплоотдачи таких видов топлива, как дрова и уголь.





VOLUME 2 APRIL 2023 ISSN: 2181-385X



СПИСОК ИСПОЛЬЗОВАННОЙ ЛИТЕРАТУРЫ / REFERENCES

- 1. Норкулова К.Т., Матякубова П.М., Мамасалиева М.И. Новые интегральные схемы сушки. // EUROPE, SCIENCE AND WE. International Conference 2020 Praha, Czech Republic Conference Proceedings C.101-102
- 2. Norkulova K.T., Matyokubova P.M., Jumaev B.M., Mamatkulov M.M. Pulsed drying metod using a multilayer chamber// Proceedings of International Scientific and Technical Conference on "Problems and Prospects of Innovative Technique and Technology in Agri-Food Chain" 24-25 April, 2020 C.155-157
- 3. Норкулова К.Т., Матякубова П.М., Мамасалиева М.И., Маматкулов М.М. Улучшение качества конечного продукта и энергосбережения при сушке с помощью маслянных теплоносителей позволяющие ИК-излучение // International Scientific Journal ISJ Theoretical & Applied Science Philadelfia, USA
- 4. К.Т.Норкулова, П.М. Матякубова, М.М.Маматкулов, М.И. Мамасалиева. Пульсационное ускорение сушки с помощью вибрации потока теплоносителя-газа внутри камеры.//Asian Journal of Multidimensional Research (AJMR)